УДК 577.1:543.422.27 DOI 10.26456/vtchem2025.3.2

ВЛИЯНИЕ АНИОННЫХ ПАВ НА ОДНОСТАДИЙНОЕ ГЕЛЕОБРАЗОВАНИЕ В НИЗКОКОНЦЕНТРИРОВАННОЙ ВОДНОЙ L-ЦИСТЕИН-AgNO₃-KI СИСТЕМЕ

А.А. Баранник^{1,2}, Д.В. Аверкин², С.Д. Хижняк¹, А.И. Иванова¹, Π .М. Π ахомов¹

¹ Тверской государственный университет, г. Тверь 2 Всероссийский научно-исследовательский институт физико-технических и радиотехнических измерений, г. Менделеево

В работе исследовано влияние анионных ПАВ на основе натриевых солей жирных кислот – лаурилсульфата натрия и лаурата натрия – на одностадийное гелеобразование в низкоконцентрированных водных системах на основе аминокислоты L-цистеин, нитрата серебра и иодида калия. В диапазоне концентраций лаурилсульфата натрия 0,125-0,375 мМ были получены прозрачные, стабильные во времени гидрогели, проявляющие фотоустойчивость; соотношение молярных концентраций соли серебра к аминокислоте во всех гидрогелях составляло 1,83; концентрация иодида калия – 0,75 мМ, концентрация лаурата натрия изменялась от $8 \cdot 10^{-8}$ до $8 \cdot 10^{-7}$ мМ. Процесс гелеобразования в водных Lцистеин-AgNO₃-KI-ПАВ системах был исследован с помощью методов вибровискозиметрии, спектроскопии УФ-видимого диапазона, динамического светорассеяния (ДРС), электрофоретического рассеяния света, сканирующей электронной микроскопии (СЭМ). Установлено, что анионные ПАВ не инициируют гелеобразование в L-цистеин-AgNO₃ системе, однако в присутствии иодида калия повышают вязкость, стабильность времени И фотоустойчивость гидрогелей. Предположительно анион ПАВ выступает в роли линкера между положительно заряженными кластерными цепочками в L-цистеин-AgNO3 системе, способствуя формированию более развитой пространственной гель-сетки и препятствуя восстановлению избыточного Ag(I).

Ключевые слова: гидрогель, наночастицы серебра, анионные ПАВ, Lиистеин, нитрат серебра, иодид-анион, супрамолекулярная структура

Супрамолекулярные гидрогели на основе низкомолекулярных соединений (аминокислот, пептидов и др.) привлекают повышенное исследователей как перспективные материалы биомедицинского применения и как модельные системы для изучения процессов самосборки [1-5]. Гелеобразование в таких системах может быть инициировано различными способами – введением электролита,

21

изменением рН, нагреванием, облучением и др. Особый интерес представляют процессы самосборки и гелеобразования в подобных системах в результате анионного отклика [6-7], исследование которых открывает новые возможности в создании и направленном дизайне анион-чувствительных супрамолекулярных органо- и гидрогелей биомедицинского назначения [8-10].

Несмотря на многообразие супрамолекулярных систем объектом исследования авторов являются гидрогели на основе L-цистеин-серебряного раствора (ЦСР), полученные одностадийным методом (опероt) при добавлении галогенид-анионов [11-12]. L-цистеин (L-Суѕ) представляет собой заменимую аминокислоту, содержащую аминокарбоксильную и тиольную группы. L-Суѕ биосовместим, обладает антиоксидантной активностью, выступает предшественником глутатиона [13], за счет тиольной группы координирует ионы металлов. L-цистеин применяется в пищевой, фармацевтической, косметической и др отраслях, что подчеркивает его практическую значимость.

Гелеобразование в системах на основе ЦСР изучается довольно продолжительное время [14], внимание исследователей фокусируется, в основном, на процессах самосборки в ЦСР под влиянием различных электролитов [15-16], полимеров [17-19], полисахаридов [20-23], и, несмотря на большое количество выпоSLенных работ, как экспериментальных, так и с помощью компьютерного моделирования [24-26], исследование ЦСР с добавлением ионогенных ПАВ не проводилось.

Выбор ПАВ был не случайным, поскольку эти соединения являются амфифильными, имеют полярную группу и неполярный радикал, снижают поверхностное натяжение, находят применение в медицине в качестве антисептиков. Для данного исследования в качестве L-цистеин-AgNO₃-KI добавки гидрогелям, полученным одностадийным методом [12], были выбраны анионные ПАВ – лаурилсульфат натрия ($C_{12}H_{25}SO_4Na$) и лаурат натрия ($C_{12}H_{23}O_2Na$), которые имеют одинаковую длину углеродной цепочки (С12), но отличаются полярными группами – сульфатная и карбоксилатная, соответственно. Целью работы является изучение влияния анионного ПАВ – лаурилсульфата натрия (SDS) и лаурата натрия (SL) – на one-pot гелеобразование в низкоконцентрированных водных системах на основе аминокислоты L-цистеин, нитрата серебра, иодида калия с помощью вибровискозиметрии, спектроскопии УФ-видимого диапазонов, ДСР, электрофоретического рассеяния света, сканирующей электронной микроскопии.

Экспериментальная часть

99% В работе использованы реактивы: нитрат серебра («Lancaster»), L-цистеин 99% («Acros»), иодид калия (x.y.),лаурилсульфат натрия (x.y.), лаурат натрия (x.y.). Все растворы готовили на бидистиллированной воде.

Для приготовления гидрогелей на основе L-цистеина и нитрата серебра по одностадийному методу использовали водные растворы исходных компонентов с концентрацией 0,01 М, концентрация раствора йодида калия составляла 0,05 M, концентрация растворов SDS и SL составляла 0,01 М. Образцы для исследований получали по следующей схеме: к раствору L-Суѕ приливали рассчитанное количество воды, а растворы иодида калия, ПАВ, нитрата Последовательность смешения компонентов особенно важна, в случае ее изменения образуется, как правило, мутный образец, в котором гелеобразование не происходит. В табл. 1 представлены концентрации компонентов в исследованных образцах, из которой видно, что концентрация L-Cys, AgNO₃, KI и соотношение молярных концентраций Ag⁺/L-Cys оставались постоянными, а концентрации лаурилсульфата натрия и лаурата натрия в итоговой системе варьировались. Смесь растворов интенсивно перемешивали после добавления каждого компонента. Образцы хранились в защищенном от света месте при комнатной температуре.

Таблица 1. Концентрация компонентов в исследуемых L-Cvs-AgNO₃-KI-ПАВ гилрогелях

Образец/ Концентрация, мМ	1	2	3	4	5	6	7
L-Cys	3,0						
AgNO ₃	5,5						
KI	- 0,75						
SL	-	-	-	-	-	8·10 ⁻	8·10-7
SDS	-	-	0,125	0,250	0,375	-	-

Примечание: $CAgNO_3/CL-Cys - 1,83$.

Измерение вязкости выпоSLяли при комнатной температуре в специальных кюветах из поликарбоната объёмом 12 мл на вибрационном

вискозиметре SV-10 фирмы «A&D Company», в котором вибрация сенсорных пластин осуществляется с частотой 30 Гц и постоянной амплитудой около 1 мм.

Электронные спектры исследуемых образцов регистрировали на спектрофотометре "EvolutionArray" фирмы "ThermoScientific" в кварцевой кювете с толщиной слоя 1 мм.

Распределения частиц по размерам в образцах получены с помощью метода динамического светорассеяния. Измерения проведены на анализаторе Zetasizer "Nano ZS" фирмы "Malvern" с He-Ne-лазером (633 нм) мощностью 4 мВт при 25° С в конфигурации обратного рассеяния (173°), обеспечивающей наибольшую чувствительность прибора.

Измерение дзета-потенциала агрегатов в образцах осуществляли на анализаторе Zetasizer "Nano ZS" (фирма "Malvern") с использованием специальных U-образных капиллярных кювет.

Морфологию гидрогелей исследовали на сканирующем электронном микроскопе «JEOL JSM-6610 LV». Пробоподготовку проводили по стандартной методике.

Результаты и их обсуждение

На рис. 1 представлена фотография гидрогелей № 2 и 3 (согласно таблице) через 3 месяца с момента синтеза. Из рисунка видно, что образец №2 (без добавления ПАВ) имеет темный цвет, что, вероятно, связано с восстановлением серебра [27] и является свидетельством фоточувствительности. Образец №3, содержащий ПАВ (SDS), имеет желтый оттенок, что указывает на отсутствие в нем деструкционных процессов, поскольку свежеприготовленные гидрогели имеют желтое окрашивание. Исходя из этого можно сделать вывод, что введение ПАВ приводит к повышению стабильности гидрогелей во времени, понижает их фоточувствительность, проявляя «защитные» свойства к избыточному Ag(I) в системе [28].

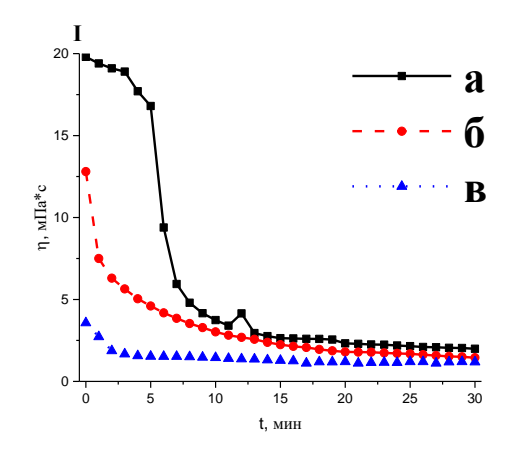
В работе были определены концентрационные диапазоны гелеобразования при введении ПАВ в L-Cys-AgNO₃-KI образцы. При добавлении SDS в систему в интервале концентраций от 0,125 до 0,375 мМ образуются устойчивые гидрогели, если содержание SDS в системе меньше, чем 0,125 мМ, гелеобразование не наблюдается, в случае избытка SDS — более, чем 0,375 мМ, происходит выпадение творожистого осадка. Для SL концентрационный диапазон гелеобразования составляет от 8*10⁻⁸ до 8*10⁻⁷ мМ. Следует отметить, что также были синтезированы образцы без иодида калия, только с добавлением анионного ПАВ, в этом случае гель не образуется. Таким

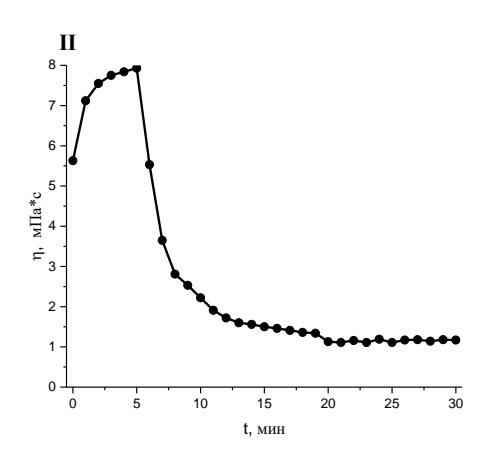
образом, SDS и SL не инициируют гелеобразование в низконцентрированном растворе L-Cys-AgNO₃.



Рис. 1. Фотография образцов супрамолекулярных гидрогелей различного состава: образцы № 2 и 3 (слева направо).

Согласно данным вибрационной вискозиметрии зависимость относительной вязкости от времени для образцов с различными ПАВ (рис. 2) демонстрирует характерную особенность – уменьшение значения вязкости в процессе измерения. Это связано с частичной деструкцией пространственной гель-сетки образца из-за изменения числа зацеплений между ее фрагментами в результате осцилляций сенсорных пластин. Из рис. 2 видно, что при минимальном количестве SDS (0,125 мМ) вязкость образца в начальный момент измерения является максимальной ~20 мПа·с (рис.2.I, а). По мере увеличения концентрации SDS в системе наблюдается снижение максимальной (в начальный момент измерения) вязкости образцов (рис.2.І, б.в). Образец с концентрацией SDS, равной 0,375 мМ, является слабым гелем с максимальным значением относительной вязкости 3,6 мПа·с, кроме того, в процессе измерения гель разрушается, и его вязкость становится равной п ЦСР (рис.3.III). Из этого можно сделать вывод, что дальнейшее увеличение содержания SDS будет препятствовать образованию пространственной гель-сетки вследствие нарушения баланса электростатических взаимодействий в системе. При добавлении SL в L-Cys-AgNO₃-KI систему η образца на начальном этапе измерения возрастает (в течение 5 мин), а затем происходит ее уменьшение до значений, близких к значениям вязкости воды при температуре измерения (рис. 2.II). Низкая растворимость ПАВ в воде (4,81 мг/л при 25 °C) не позволяет добиться большей равновесной концентрации SL в системе и получить концентрационную зависимость вязкости.





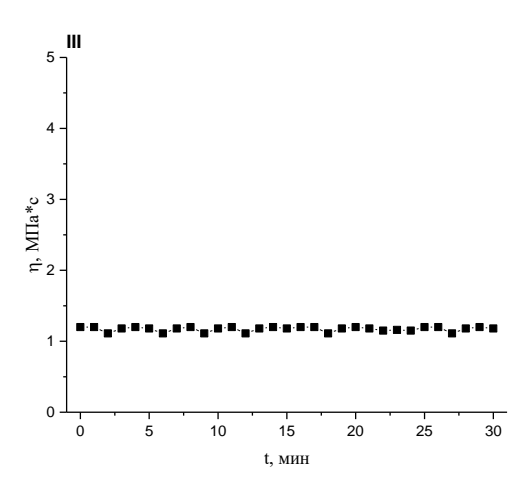


Рис. 2. Зависимость относительной вязкости L-Cys-AgNO $_3$ -KI образцов полученные через 7 дней после синтеза, от содержания ПАВ:

I: а - №3; б - №4; в - №5, **II**: №7, **III**: цистеин-серебряный раствор

На рис. 3 представлены УФ-спектры L-Cys-AgNO₃-KI гидрогеля и образцов с различными ПАВ (№ 2, 3, 6, согласно таблице 1). Из рисунка видно, что добавление SDS и SL увеличивает интенсивность поглощения в диапазоне 340-360 нм и приводит к заметному изменению формы полосы в этой области, вероятнее всего, в результате изменения электронной конфигурации кластерных цепочек на основе меркаптида серебра (МС) [13] за счет межмолекулярного взаимодействия ионов серебра с анионными группами ПАВ. Другим заметным эффектом добавления анионного ПАВ в систему является отсутствие в электронных спектрах образцов №3 и №6 полосы плазмонного резонанса наночастиц серебра ~408 HM, предположительно, вследствие «защитного» действия ПАВ, анионы которого координируются с избыточным Ag(I) и препятствуют формированию нанокластеров серебра [12, 27].

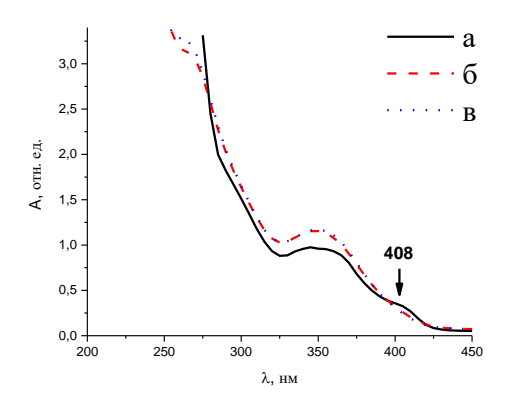


Рис. 4.І демонстрирует УФ-спектры гидрогелей с различным количеством SDS. Следует отметить, что изменение концентрации ПАВ в образцах с 0,125 до 0,250 мМ вызывает лишь незначительные различия в спектрах образцов №3 и №4 в области полосы поглощения 260 нм, которую интерпретируют как полосу, связанную с аргентофильным Ag(I)··· Ag(I) взаимодействием в Cys-Ag(I) координационных полимерах [29, 30]. Увеличение концентрации SDS до 0,375 мМ приводит к заметному уменьшению поглощения во всем диапазоне спектра, однако в большей степени в коротковоSLовой области (~260 нм). При

дальнейшем повышении концентрации ПАВ гель не образуется, наблюдается выпадение осадка.

На рис. 4.II показаны УФ-спектры L-Cys-AgNO₃-KI-SL образцов с различным содержанием ПАВ. Увеличение концентрации лаурата натрия незначительно повышает интенсивность поглощения в области 340-360 нм, которая интерпретируется в работе [29] как полоса переноса заряда с лиганда на металл в -Ag-S-Ag-, заметное уширение которой происходит вследствие координации иодид-анионов с Ag(I) кластерных цепочек [12]. Таким образом, влияние SDS и SL на электронную конфигурацию -Ag-S-Ag- проявляется различным образом, что можно объяснить разным строением аниона ПАВ.

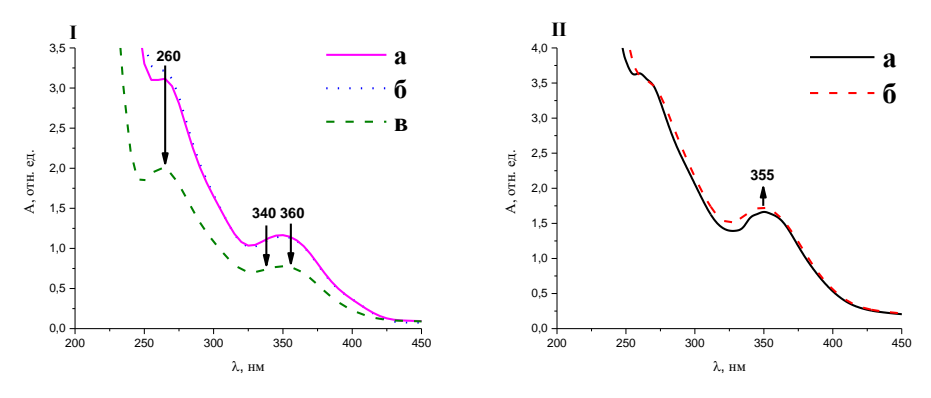


Рис. 4 Электронные спектры различных образцов, полученные через 7 дней после синтеза,

I: $a - N_{2}3$, $6 - N_{2}4$, $B - N_{2}5$; **II** $- a - N_{2}6$, $6 - N_{2}7$

На рис. 5 показаны результаты исследования процессов самосборки L-Cys-AgNO₃-KI-ПАВ гидрогелях во времени с помощью метода ДСР. Для этого эксперимента гидрогели сразу после синтеза разбавляли в 2 раза. Если проанализировать распределения частиц по размерам (рис. 5), то выясняется, что в процессе гелеобразования количество частиц, имеющих размер около 1 мкм, возрастает с увеличением концентрации SDS. Из этого можно сделать вывод, что анион ПАВ выступает как допоSLительный линкер между фрагментами положительно заряженных кластерных цепочек на основе меркаптида серебра, предположительно имеюших строение: $[(---Ag-S(R)---)_n mAg]^+$ [12]. Характерной особенностью воздействия ПАВ на кластерные цепочки является сжатие (компактизация) агрегатов в процессе самосборки, что наблюдается для различных концентраций SDS (рис. 5a, б, в) и ЛС (рис. 5г).

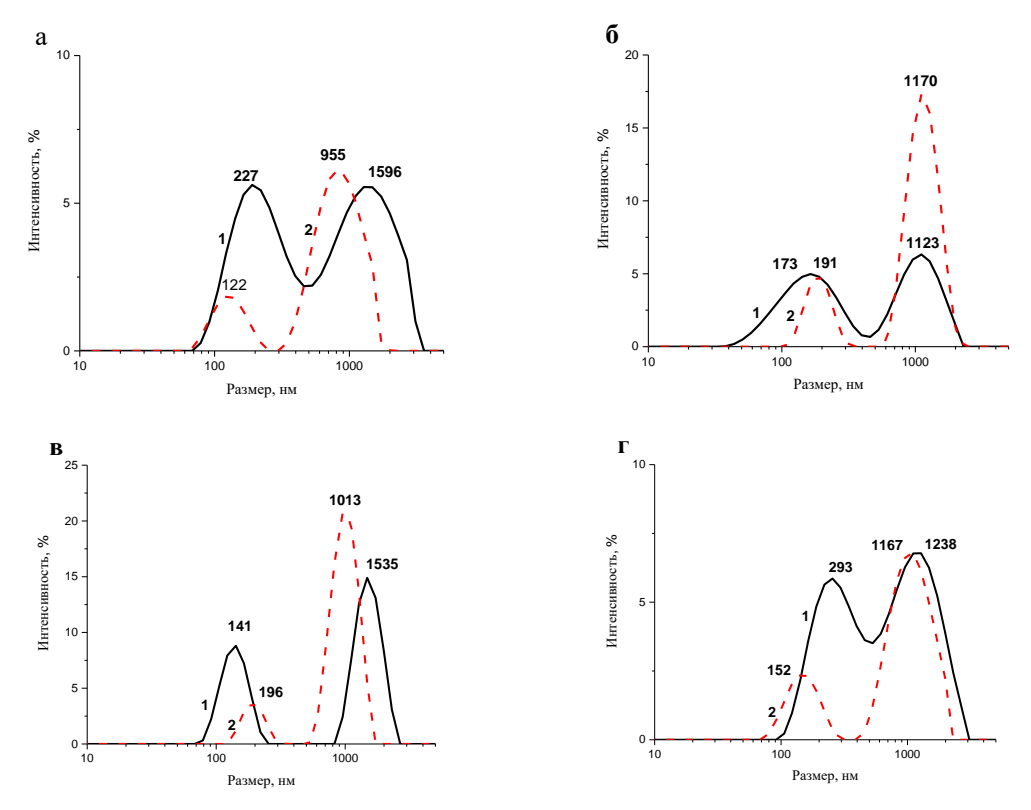


Рис. 5 Распределение частиц по размерам в зависимости от времени для различных образцов (1 - свежеприготовленные, 2 - через 2 часа) а -N2; б -N2; -N2; -N2

Дзета(ζ)-потенциал является важным параметром коллоидных систем, поскольку характеризует коагуляционную устойчивость образца с точки зрения теории двойного электрического слоя. ζ -потенциал L-Cys-AgNO₃ образца без электролита (№1) имеет значение, равное +51,6 мВ, супрамолекулярный L-Cys-AgNO₃-KI гидрогель (№2) +40,4 мВ. Уменьшение значения заряда частиц в гидрогеле происходит вследствие частичной компенсации положительного заряда цепочечных кластеров [(---Ag-S(R)---)_nmAg]⁺ иодид-анионом (рис. 6).

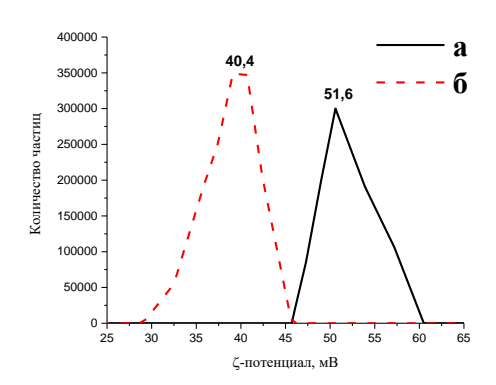


Рис. 6. Значения ζ -потенциала для образцов L-Cys-AgNO₃ (№1) и L-Cys-AgNO₃-KI (№2)

При введении в L-Cys-AgNO₃-KI систему лаурилсульфата натрия ζ -потенциал образцов повышается (рис. 7). Причиной этому могут быть несколько факторов:

- 1) рост вязкости образцов, несмотря на то, что перед анализом они были предварительно разрушены (механическое воздействие);
- 2) увеличение размеров и «компактизация» кластеров, приводящие к повышению суммарного заряда частиц.

Дальнейшее увеличение концентрации SDS ведет к снижению заряда частиц в следующей последовательности: +62,8 +59,5 +52,9 мВ, предположительно за счет увеличения количества анионов ПАВ, приводящего к дестабилизации системы и, как следствие, уменьшению вязкости, что согласуется с данными вибрационной вискозиметрии (рис. 2).

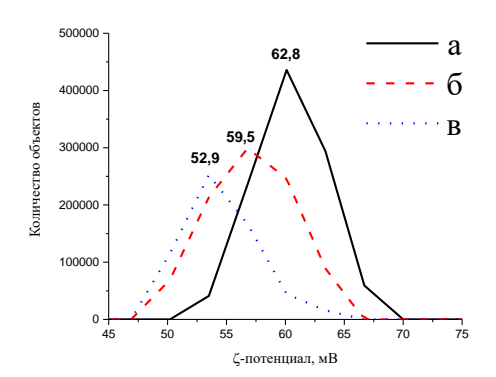


Рис. 7 Зависимость ζ -потенциала L-Cys-AgNO₃-KI- SDS образцов от концентрации ПАВ: а - №3, б - №4, в - №5

При добавлении лаурата натрия в L-Cys-AgNO₃-KI систему, образующиеся частицы очень лабильны, что не позволяет измерить значение ζ -потенциала и, кроме того, SL не способствует образованию прочного гидрогеля.

Электронные микрофотографии позволяют визуализировать изменения морфологии образов под влиянием SDS и SL. Из рис. 8 следует, что добавление SDS в образец ведет к увеличению плотности и пористости супрамолекулярной гель-сетки. Эти изменения могут быть связаны с тем, что SDS взаимодействует с кластерными цепочками меркаптида серебра как линкер, что согласуется с результатами, показанными выше. В образце №2 в структуре волокнообразной гельсетки наблюдаются агрегаты, которые не формируются в образце №5, что подтверждает предположение о защитном действии лаурилсульфата натрия.

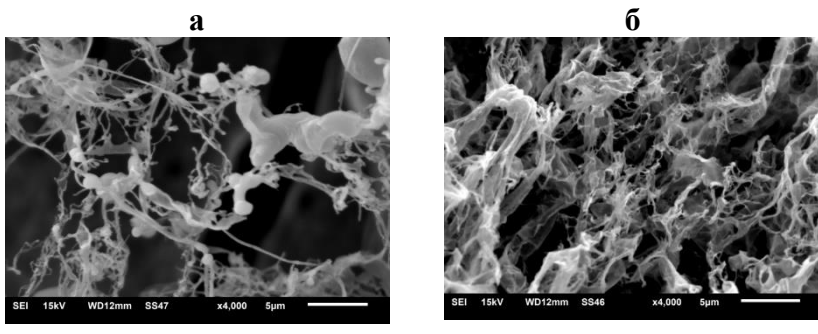


Рис. 8 СЭМ изображения образцов: а - №2, б - №5

В результате проведенного исследования доказано влияние анионных ПАВ (лаурилсульфата натрия и лаурата натрия) на процессы одностадийного (one-pot) гелеобразования в низкоконцентрированных системах на основе водных растворов L-цистеина, нитрата серебра и иодида калия, имеющих супрамолекулярную природу. Концентрация L-Cys, AgNO₃, KI во всех синтезированных гидрогелях составила 3,0; 5,5; 0,75 мM, соответственно, молярное соотношение AgNO₃/L-Cys было равно 1,83. Концентрация лаурилсульфата натрия варьировалась в диапазоне от 0,125 до 0,375 мМ, концентрация лаурата натрия изменялась в интервале от $8 \cdot 10^{-8}$ до $8 \cdot 10^{-7}$ мМ. Синтезированные по одностадийной методике L-Cys-AgNO₃-KI-ПАВ гидрогели прозрачны и имеют желтое окрашивание. Установлено, что введение анионного ПАВ (SDS, SL) в L-Cys-AgNO₃-КІ систему повышает вязкость гидрогелей, их стабильность во времени и фотоустойчивость. Анионы ПАВ выступают в роли линкеров между кластерными цепочками меркаптида серебра, что приводит к формированию более развитой пространственной гель-сетки. Одновременно с этим за счет межмолекулярных взаимодействий анионы ПАВ препятствуют формированию нанокластеров серебра.

СЭМ изображения получены на оборудовании центра коллективного пользования ТвГУ.

Список литературы

- 1. Qin L., Wang P., Guo Y., Chen C., Liu M. // Adv. Sci., 2015, P. 1500134 (1-7). DOI: 10.1002/advs.201500134
- 2. Du X., Zhou J., Shi J., Xu B. // Chem. Rev., 2015, V 115, P. 13165.
- 3. Haring M., Dıaz D.D. // Chem. Commun., 2016, 52, P. 13068-13081. DOI: 10.1039/c6cc06533c www.rsc.org/chemcomm
- 4. Thangavel G., Tan M.W.M., Lee P.S. // Nano Convergence, 2019, V 6, issue 29 https://doi.org/10.1186/s40580-019-0199-9
- 5. Draper E.R., Adams D.J. // Chem., 2017, V 3, P. 390–410 http://creativecommons.org/licenses/by/4.0/
- 6. Li L., Sun R., Zheng R., Huang Y. // Materials and Design, 2021, 205, 109759.
- 7. Shen J.-S., Li D.-H., Cai Q.-G., Jiang Y.-B. // J. of Materials Chemistry, 2009, 19, P. 6219–6224.
- 8. Mulvee M., Vasiljevic N., Mann S., Patil A.J. // Gels 2021, 7, 146. https://doi.org/10.3390/gels7030146
- 9. Picci G., Mulvee M., Caltagirone C., Lippolis V., Frontera A. and etc // Molecules 2022, 27, 1257. https://doi.org/10.3390/molecules27041257
- 10.Zhang J., Zhang B., Chen Q., Zhang B., Song J. // Nanoscale Research Letters. 2019, V 14, issue 5. P. 1-9. https://doi.org/10.1186/s11671-018-2823-8
- 11.Овчинников М.М., Лагусева В.С., Хижняк С.Д., Пахомов П.М. // Вестник Тверского государственного университета, Серия: Химия, 2017, №4. С. 135-145.
- 12. Баранник А.А., Хижняк С.Д., Иванова А.И., Пахомов П.М. Гелеобразование в цистеин-серебряном растворе, инициированное иодид-анионом. Вестник Тверского государственного университета, серия "Химия" №4(50), 2022, С. 132 142.
- 13. Martínez-Sámano, J., Torres-Durán, P.V., Juárez-Oropeza, M.A., El glutatión y su asociación con las enfermedades neurodegenerativas, la esquizofrenia, el envejecimiento y la isquemia cerebral. Revista de educación bioquímica, 2011. 30(2): p. 56-67.
- 14.Pakhomov P., Khizhnyak S., Lavrienko M., Ovchinnikov M., Nierling W., Lechner M., Colloid J., 2004, 66, 1, 65-70; DOI: 10.1023/B:COLL.0000015059.50285.e9
- 15. Андрианова Я.В., Золотухина С.Ю., Хижняк С.Д., Пахомов П.М.. Влияние различных биоактивных электролитов на процесс самоорганизации в водном цистеин-серебряном растворе. // Вестник Тверского государственного университета. Серия: Химия. 2013. №30. Вып. 16. С.137-149.

- 16.Khizhnyak S., Komarov P., Ovchinnikov M., Zherenkova L., Pakhomov P. Mechanism of gelation in low-concentration aqueous solutions of silver nitrate with L-cysteine and its derivatives // Soft Matter. 2017 V. 30 № 13 P. 5168–5184. https://doi.org/10.1039/C7SM00772H
- 17. Вишневецкий Д.В., Лагусева В.С., Иванова А.И., Хижняк С.Д., Пахомов П.М.. Создание биологически активных композиций на основе водных растворов L-цистеина, солей серебра и поливинилового спирта. // Химические волокна. 2018. №3. С.23-27.
- 18.Вишневецкий Д.В., Соловьева А.Е., Хижняк С.Д., Пахомов П.М. Процессы самоорганизации в водном растворе L-цистеина, нитрата серебра и полиэтиленгликоля // Вестник ТвГУ, серия: Химия, 2018, № 3, С. 66-76
- 19. Адамян А.Н., Кучурова А.К., Иванова А.И., Малышев М.Д, Герасин В.А., Червинец В.М., Хижняк С.Д., Пахомов П.М.. Антимикробные препараты на основе L-цистеина, ацетата серебра и полигуанидина для пропитки химических волокон и текстильных материалов. // Химические волокна. 2021. №5. С.11-15.
- 20.Овчинников М.М., Червинец В.М., Червинец Ю.В., Михайлова Е.С., Хижняк С.Д., Пахомов П.М.. Новые катионные антисептики на основе композиций L-цистеин-серебряного раствора и хитозана. // Вестник Тверского государственного университета. Серия: Химия. 2016. №1. С.140-151.
- 21.Зеников Г.Р., Хижняк С.Д., Иванова А.И., Пахомов П.М. Процессы самоорганизации и гелеобразования в цистеин-серебряном растворе с участием хитозана и электролита // Коллоидный журнал. 2024. Т.86. №3. С.317-328. http://dx.doi.org/10.31857/S0023291224030021
- 22. Ершов Н.А., Хижняк С.Д., Иванова А.И., Пахомов П.М. Процессы самосборки и гелеобразования в водных растворах L-цистеина, нитрата серебра и полисахарида каррагинана. // Вестник Тверского государственного университета. Серия: Химия. 2024. Т.54. №3. С.24-38. DOI 10.26456/vtchem2024.3.3.
- 23.Богаченков Н.А., Зеников Г.Р., Хижняк С.Д., Иванова А.И., Пахомов П.М. Гидрогели на основе водного раствора L-цистеина и нитрата серебра с альгинатом натрия. // Вестник Тверского государственного университета. Серия: Химия. 2024. Т.58. №4. С.56-69. DOI 10.26456/vtchem2024.4.6.
- 24. Комаров П.В., Алексеев В.Г., Хижняк С.Д., Овчинников М.М., Пахомов П.М. Изучение формирования нанокластеров меркаптида серебра в цистеин-серебряном растворе методом атомистической молекулярной динамики. // Российские нанотехнологии. 2010. Т.5. №3-4. С.5-13.
- 25. Бабуркин П.О., Комаров П.В., Малышев М.Д., Хижняк С.Д., Пахомов П.М. Компьютерное моделирование структурообразования в водных растворах L-цистеина и нитрата серебра под влиянием соли инициатора. // Коллоидный журнал. 2017. Т.79. №5. С.10-19.

- 26.Малышев М.Д., Бабуркин П.О., Адамян А.Н., Хижняк С.Д., Пахомов П.М., Комаров П.В. МОЛЕКУЛЯРНО–ДИНАМИЧЕСКОЕ МОДЕЛИРОВАНИЕ ПРОЦЕССА СОЗРЕВАНИЯ ЦИСТЕИН-СЕРЕБРЯНОГО РАСТВОРА. // Журнал структурной химии. 2019. Т.60. №8. С.1396-1403.
- 27. Адамян А.Н., Иванова А.И., Семенова Е.М. и др. Влияние освещения на процесс самоорганизации в цистеин-серебряном растворе // Вестник Тверского государственного университета, Серия: Химия. 2021. Т. 43. № 1. С. 60-68.
- 28. Баранова О.А., Хижняк С.Д., Пахомов П.М. Влияние величины pH на синтез наночастиц серебра в водном цистеин-серебряном растворе // Журнал структурной химии. 2016. \mathbb{N} 6. С. 152-158.
- 29.Shen J.-S., Li D.-H., Zhang M.-Bo., Zhou J., Zhang H. et al. / Langmuir, 2011, 27 (1), P. 481-486; DOI: 10.1021/1a103153e
- 30.I. Odriozola, P. Casuso, I. Loinaz, G. Cabañero, H. Grande, Org. Biomol. Chem., 2011, 9, 5059-5061; DOI: 10.1039/C1OB05520H

Об авторах:

БАРАННИК Александр Андреевич – аспирант 1 года обучения химикотехнологического факультета кафедры физической химии Тверского государственного университета (170002, г. Тверь, Садовый пер., д. 35), инженер лаборатории 640 метрологического обеспечения измерения параметров аэрозолей, взвесей и порошкообразных дисперсных материалов ΦГУП «ВНИИФТРИ» (141570,Γ. Солнечногорск, ПГТ. Менлелеево (промзона ВНИИФТРИ); e-mail: aabarannik2001@mail.ru

АВЕРКИН Дмитрий Вадимович – научный сотрудник лаборатории 640 метрологического обеспечения измерения дисперсных параметров аэрозолей, взвесей и порошкообразных материалов ФГУП «ВНИИФТРИ» (141570, г. Солнечногорск, пгт. Менделеево, промзона ВНИИФТРИ); e-mail: averkindmitry@gmail.com

ХИЖНЯК Светлана Дмитриевна — кандидат химических наук, доцент кафедры физической химии, зав. лабораторией спектроскопии ЦКП Тверского государственного университета (170002, г. Тверь, Садовый пер., д. 35); e-mail: sveta_khizhnyak@mail.ru

ИВАНОВА Александра Ивановна – кандидат физико-математических наук, доцент кафедры прикладной физики, зав. лабораторией электронной микроскопии ЦКП Тверского государственного (170002,университета Тверь, Садовый пер., 35); Д. e-mail: alex.ivanova33@mail.ru

ПАХОМОВ Павел Михайлович — доктор химических наук, профессор, зав. кафедрой физической химии Тверского государственного университета (170002, г. Тверь, Садовый пер., д. 35); e-mail: pavel.pakhomov@mail.ru

EFFECT OF ANIONIC SURFACTANTS ON SINGLE-STAGE GEL FORMATION IN LOW-CONCENTRATION AQUEOUS L-CYSTEINE-AgNO₃-KI SYSTEM

A.A. Barannik^{1,2}, D.V. Averkin², S.D. Khizhnyak¹, A.I. Ivanova¹, P.M. Pakhomov¹

¹Tver State University, Tver

²All-Russian Research Institute of Physical-Engineering and Radiotechnical Measurements, Mendeleevo

The work investigated the effect of anionic surfactants based on sodium salts of fatty acids – sodium lauryl sulfate and sodium laurate – on single-stage gelation in low-concentration aqueous systems based on the amino acid L-cysteine, silver nitrate and potassium iodide. Transparent hydrogels stable over time and exhibiting photostability were obtained in the sodium lauryl sulfate concentration range of 0.125-0.375 mM; the ratio of molar concentrations of silver salt to amino acid in all hydrogels was 1.83; the concentration of potassium iodide was 0.75 mM, the concentration of sodium laurate varied from 8 10-8 to 8 10-7 mM. The gelation process in aqueous L-cysteine-AgNO3-KIsurfactant systems was studied using vibroviscometry, UV-visible spectroscopy, dynamic light scattering (DLS), electrophoretic light scattering. and scanning electron microscopy (SEM). It was found that anionic surfactants do not initiate gelation in the L-cysteine-AgNO3 system, but in the presence of potassium iodide they increase the viscosity, stability over time, and photostability of hydrogels. Presumably, the surfactant anion acts as a linker between positively charged cluster chains in the L-cysteine-AgNO3 system, promoting the formation of a more developed spatial gel network and preventing the reduction of excess Ag(I).

Keywords: hydrogel, silver nanoparticles, anionic surfactants, L-cysteine, silver nitrate, iodide anion, supramolecular structure

Дата поступления в редакцию: 03.09.2025. Дата принятия в печать: 10.09.2025.